

## C<sub>4</sub>A<sub>3</sub>S-Calciumsilicate 系 클링커의 水和反應

李承柱·崔相紹  
漢陽大學校 無機材料工學科  
(1981年 12月 30日 接受)

## Hydration of C<sub>4</sub>A<sub>3</sub>S-Calciumsilicate Clinker

Seung-Ju Lee and Sang-Heul Choi  
Dept. of Inorganic Materials Eng., Hanyang Univ.  
(Received Dec. 30, 1981)

### ABSTRACT

The clinkers were obtained when a raw mixture consisted of limestone, slags and gypsum was burned at 1340°C for 30 minutes, and 1280°C for 30 minutes adding CaF<sub>2</sub> as a flux. The principal compounds of these clinkers were C<sub>3</sub>S, β-C<sub>2</sub>S, C<sub>4</sub>A<sub>3</sub>S.

To investigate hydration behavior, cements were made and hydrated at constant humidity cabinet (W/C=0.5 20±1°C). X-ray diffractometer, SEM, and conduction calorimeter were employed to examine the hydration behavior. The hydrates were mainly C-S-H, ettringite, Ca(OH)<sub>2</sub>. By the hydration of C<sub>3</sub>S and C<sub>4</sub>A<sub>3</sub>S, the needle-like ettringite filling the inner vacant spaces of the hardened body might contribute to the rapid-hardening and high-strength phenomena. Furthermore, the hardened body became stronger due to the hydration of C<sub>2</sub>S at later period. The addition of granulated blastfurnace slags have a potential to be a blended cement.

### I. 序論

시멘트產業에서 資源과 에너지의 節減은 當面問題이며, 한편 急激한 產業發展과 함께 날로 增加一路에 있는 副産資源의 再活用 또한 切實한 諸題로서, 이에 對한 研究가 行하여 来고 있으며<sup>1)</sup>, 한편 低溫燒成 시멘트 클링커에 對해서도 研究되고 있다.

Mehta<sup>2)</sup>는 시멘트 클링커 鑽物組成中 高에너지 消費型 化合物인 C<sub>3</sub>S의 量을 줄이고 低에너지 消費型 化合物인 C<sub>2</sub>S와 C<sub>4</sub>A<sub>3</sub>S를 主礦物로 하는 클링커를, 낮은 溫度에서의 生成을 試圖하여 1,200°C에서 클링커를 烧成하여 速硬, 普通 및 經硬性의 3 가지 시멘트를 製造하였다.

Akiyama<sup>3)</sup>는 高爐슬래그, 石灰石, 石膏를 配合하여 C<sub>4</sub>A<sub>3</sub>S와 C<sub>3</sub>S를 主礦物로 하는 클링커를 1,360°C~1,400°C에서 生成하였으며, flux를 添加하였을 때는 1,260°C에서 烧成하였다.

Sudoh<sup>4)</sup>는 CaO-Al<sub>2</sub>O<sub>3</sub>-SiO<sub>2</sub>-SO<sub>3</sub>系에서 C<sub>4</sub>A<sub>3</sub>S, C<sub>2</sub>S, CaO를 主化合物로 하는 클링커를 1,250°C~1,300°C에서 合成하여 速硬性 및 高強度를 내는 시멘트를 만들었다.

本研究에서는 資源 및 에너지 節減型 시멘트의 開發을 為한 例究의 일환으로 高爐슬래그, 軒爐슬래그等副産資源을 活用하여 低溫燒成이 可能한 C<sub>4</sub>A<sub>3</sub>S-C<sub>3</sub>S-C<sub>2</sub>S系의 클링커를 合成하고 그 水和反應을 檢討함으로서 資源의 再活用과 에너지 節減을 위한 基礎資料를 얻고자 하였다.

### 1. C<sub>4</sub>A<sub>3</sub>S-Calciumsilicate 系 클링커의 合成

#### 1. 原料

1) 슬래그: P社產 高爐슬래그와 軒爐슬래그를 使用하였다. 이들의 化學組成은 表1과 같으며, 高爐水碎슬래그는 거의 유리質로 되어있고 軒爐슬래그는 主로 C<sub>2</sub>F와 α'-C<sub>2</sub>S이다.

Table 1. Composition of Raw Materials  
(wt %)

Materials Composition	Limestone	B. F. Slag	Converter Slag
SiO <sub>2</sub>	3.7	31.6	15.0
Al <sub>2</sub> O <sub>3</sub>	1.3	17.3	5.6
Fe <sub>2</sub> O <sub>3</sub>	0.6	1.3	29.1
CaO	50.1	41.8	40.9
MgO	3.3	5.8	7.9
Na <sub>2</sub> O+K <sub>2</sub> O	0.34	—	—
Ig. Loss	39.7	—	—

1) 石灰石 : 石灰石은 YJ地區에서 採出되고 있는 石灰石을 使用하였다. 化學分析値는 表 1. 과 같다.

2) 其他 : 石膏 및 蠻石은 試薬(特級)을 使用하였다.

## 2. 實驗方法

原料를 C<sub>4</sub>A<sub>3</sub>S-C<sub>3</sub>S-C<sub>2</sub>S系의 클링커가生成될 수 있도록 表 2.와 같이 調合하여 Blaine值 3000cm<sup>2</sup>/g以上으로 微粉碎하였다. 한편 flux로 CaF<sub>2</sub>를 添加하여 클링커의 燃成溫度의 低下도 試圖하였다. 이들 原料調合物을 直徑 1~2cm의 球形으로 만들어 1,250~1,360°C<sup>14</sup>의 溫度範圍에서 30分間 燃成하고 空氣中에서 急冷시켰다.

Table 2. Mixing Ratio of Raw Materials  
(wt %)

Material Sample	Limestone	B. F. Slag	Converter Slag	CaSO <sub>4</sub> · 2H <sub>2</sub> O	CaF <sub>2</sub>
A	56.16	34.56	—	8.21	1.08
B	58.57	33.26	—	7.09	1.08
C	56.30	36.59	—	6.05	1.06
D	53.69	32.51	1.97	10.34	1.48
E	56.77	34.93	—	8.30	—

얻어진 각 클링커는 化學分析, X-ray回折分析 및 Fukuda<sup>5</sup>와 Bogue<sup>6</sup>의 方法으로 生成礦物相의 矿物組成을 檢討하였으며, 光學顯微鏡과 走査型 電子顯微鏡을 利用하여 微細構造를 觀察하였다.

## 3. 結果 및 考察

클링커의 燃成條件은 瑞佛燃成試驗으로 얻었다.

그림 1.은 原料調合物(B)을 1,250°C, 1,280°C, 및 1,320°C에서 30分間 燃成한 클링커의 X-ray回折圖의 例이다. 클링커는 flux를 添加하지 않은 경우는 1,340°C에서 30分間, flux를 添加한 경우는 1,280°C에서 30分間 燃成함으로써 얻어졌다. 表3.은 이들 클링커의 化學組成인데, Al<sub>2</sub>O<sub>3</sub>, SO<sub>3</sub>는 보통 포틀랜드水泥로 많으며 SiO<sub>2</sub>, Fe<sub>2</sub>O<sub>3</sub>, CaO는 적게 含有되어 있다.

主礦物組成은 C<sub>3</sub>S, β-C<sub>2</sub>S, C<sub>4</sub>A<sub>3</sub>S이며, CaF<sub>2</sub>를 添加한 경우는 微量의 C<sub>11</sub>A<sub>7</sub>·CaF<sub>2</sub>가 生成된다.

各 클링커에 對해서 矿物組成을 比較 檢討하여 表4.에 나타내었고, 또 Mehta<sup>2</sup> 및 Akiyama<sup>3</sup>가 製造한 클링커와도 比較하였다. Mehta의 클링커는 C<sub>3</sub>S가 生成되지 않고, β-C<sub>2</sub>S와 C<sub>4</sub>A<sub>3</sub>S가 主礦物相으로 되어 있고, Akiyama의 클링커는 C<sub>3</sub>S와 C<sub>4</sub>A<sub>3</sub>S가 主礦物相으로 되어 있다. 그림 2.는 클링커의 走査型 電子顯微鏡 사진의 例이다.

Nakamura<sup>7</sup>는 CaO/(Al<sub>2</sub>O<sub>3</sub>+2SiO<sub>2</sub>+3Fe<sub>2</sub>O<sub>3</sub>)의 mole比가 1以下이면 C<sub>4</sub>A<sub>3</sub>S가 生成되지 않고, C<sub>2</sub>AS, CAS<sub>2</sub>가 生成된다고 하였다. 또한, CaCO<sub>3</sub>/2SiO<sub>2</sub>의 mole比가 1以上일 때는 2(C<sub>2</sub>S)CaSO<sub>4</sub>가 生成되며, CaCO<sub>3</sub>/2SiO<sub>2</sub>의 mole比가 1보다 적을 때는 SO<sub>3</sub>가 廉散되고 C<sub>3</sub>S<sub>2</sub> 또는 α-CS가 生成된다고 하였다.

原料中の 石灰飽和度를 높게 할 경우는 水和反應성이 낮은 C<sub>2</sub>S는 잘 生成되지 않고, 高石灰型의 C<sub>3</sub>S相으로 된다.

C<sub>3</sub>A가 生成되지 않는 理由는 石膏가 술래그中の alumina成分과 結合하여 C<sub>1</sub>A<sub>3</sub>S로 安定化하여 C<sub>3</sub>A의 生成을 抑制하기 때문이다<sup>8</sup>.

CaF<sub>2</sub>의 添加는 클링커에서 C<sub>11</sub>A<sub>7</sub>·CaF<sub>2</sub>相을 生成한다. 또 β→γ-C<sub>2</sub>S의 polymorphic transition의 促進과 C<sub>3</sub>S相의 不安定化說<sup>9</sup>, C<sub>3</sub>S의 結晶格子에 CaF<sub>2</sub>가 들어가 이相의 水和反應性을 減少시키며 圧縮強度가 낮아진다는 報告<sup>9</sup>도 있다.

C<sub>4</sub>A<sub>3</sub>S는 CaO-Al<sub>2</sub>O<sub>3</sub>-SO<sub>3</sub>系에서 唯一한 三成分化合物이며 900~1,000°C에서 生成되기 始作하여 1,400°C까지 安定하다<sup>10</sup>. R. Kondo<sup>10</sup>는 이 三成分化合物이 Haüyne type에 屬하는 化合物의 하나이며, Haüyne의 모든 Na와 Si를 각각 Ca와 Al로 치환한 것이라고 하였다.

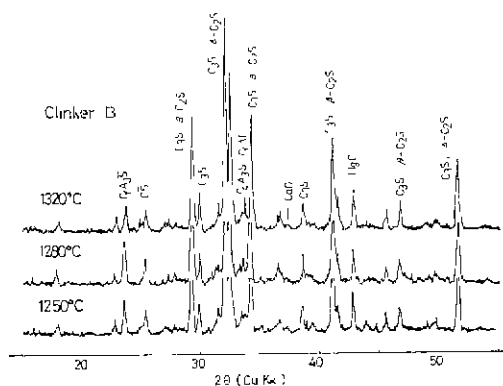


Fig. 1. X-ray diffraction patterns of clinker(B).

Table 3. Chemical Composition of Clinkers

Clinker	Clinkering Temp. (°C)	Chemical Composition (%)						
		SiO <sub>2</sub>	Al <sub>2</sub> O <sub>3</sub>	Fe <sub>2</sub> O <sub>3</sub>	CaO	MgO	Na <sub>2</sub> O+K <sub>2</sub> O	SO <sub>3</sub>
A	1280	17.8	8.1	0.7	58.2	5.0	0.54	5.5
B	1280	18.3	8.2	0.8	60.0	4.9	0.50	4.1
C	1280	18.6	8.3	0.8	58.3	4.7	0.53	4.6
D	1280	17.3	7.8	1.3	57.1	4.9	0.53	7.0
E	1340	17.7	8.1	0.9	59.9	5.0	0.50	5.4

Table 4. Mineral Compounds of Clinkers

Sample	Composition	C <sub>3</sub> S	β-C <sub>2</sub> S	C <sub>4</sub> A <sub>3</sub> S	C <sub>4</sub> AF	C <sub>5</sub> S
This Experiment	A	XXXXX	XXX	XXXX	XX	XX
	B	XXXXX	XX	XXXX	XX	XX
	C	XXXXX	XXX	XXXX	XX	XX
	D	XXXXX	XXX	XXXX	XX	XXX
	E	XXXXX	XX	XXXX	XX	XX
Mehta's Experiment <sup>2)</sup>	M <sub>1</sub>	X	XXXX	XXXX	XXXX	XXXX
	M <sub>2</sub>	X	XXXX	XXXX	XXX	XXXX
	M <sub>3</sub>	X	XXXXX	XXX	XXX	XXX
Akiyama's Experiment <sup>3)</sup>	A <sub>1</sub>	XXXXX	XX	XXXXX	XXX	XXX
	A <sub>2</sub>	XXXXX	X	XXXX	XX	XXX
	A <sub>3</sub>	XXXX	XX	XXX	XX	XXX

note /XXXXX : remarkably much      XXXXX : very much  
           XXX : proper                    XX : a little  
           X : hardly identified



Clinker A



Clinker B

Fig. 2. Scanning Electron Micrographs of Clinkers.

### III. 水和反應

#### 1. 試料

- ㄱ) 클링커 : Ⅱ에서 합성한 클링커를 사용하였다.
- ㄴ) 高爐水碎슬래그 : Ⅱ에서 사용하였던 것과同一한 것을 사용하였다.
- ㄷ) 石膏 : 石膏는 試藥(特級)을 사용하였다.

#### 2. 實驗方法

##### ① 試料配合

合成한 각 클링커에 高爐水碎슬래그와 石膏를 添加調合하여 Blaine 值 3,000cm<sup>2</sup>/g 以上으로 微粉碎하여 表5. 와 같은 세 種類의 시멘트 試料를 만들었다.

##### ② 水和

各 시멘트에 w/c=0.5로 하여 20±1°C의 恒溫室안에서 水和시킨 다음 아세톤을 使用하여 水和를停止시켜, X-ray 回折分析을 하고, 走査型 電子顯微鏡으로 水和生成物를 檢討하였다.

##### ③ 水利熱 測定

Twin型 conduction calorimeter<sup>11)</sup>를 使用하여 20°C에서 w/c=0.5로 測定하였다.

Table 5. Mixing Ratio of Samples

Sample No.	Clinker	Slag	Gypsum
1	95	—	5
2	70	20	10
3	55	40	5

Table 6. Hydration Products of Cements

Sample Days Comp.	B-1				B-2				B-3		
	3	7	21	28	3	7	21	28	3	7	21
C-S-H	××	××	××	××	×××	××	××	××	×××	××	××
Ettringite	×××	×××	×××	××	×××	×××	×××	××	×××	××	×××
Ca(OH) <sub>2</sub>	×××	×××	××	××	×××	×××	××	×	×	×××	×××
CaSO <sub>4</sub> ·2H <sub>2</sub> O	××	××	××	××	×××	××	×××	××	××	××	××
Clinker Mineral	××	××	××	×	××	××	××	×	××	××	×

랜드 시멘트의 水和熱曲線과 比較한 것으로, 이 시멘트들은 보통 포틀랜드 시멘트보다 水和熱이 더 큰 것을 보이고 있다. 한편 4~6時間程度에서 加速期가始作되고 있으며, 9~12時間안에 最大피크가 보이고

있다.

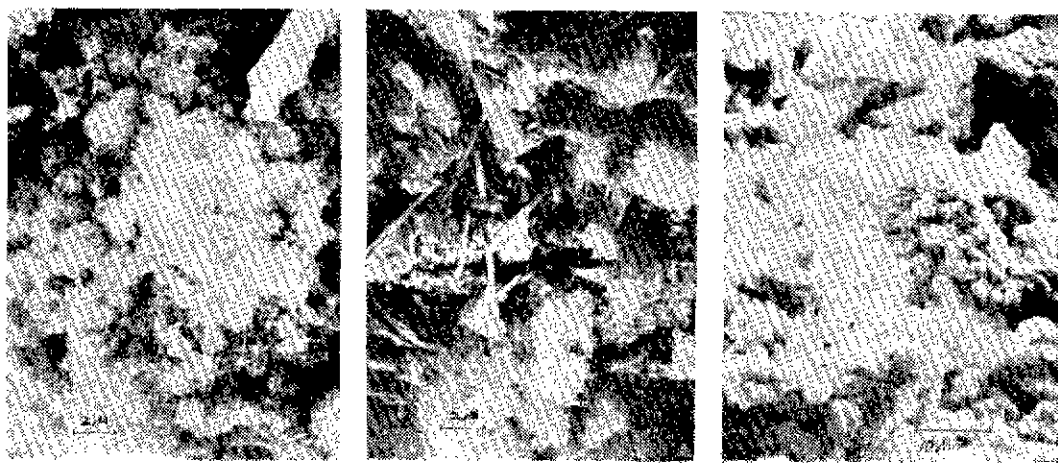
그림4-b.는 클링커B에 슬래그 및 石膏를 混合한 시멘트의 水和熱曲線이다. B-4는 클링커 75%, 슬래그 20%, 石膏 5%를 混合한 것이다. 슬래그를 20%混

Table 7. Hydration Products of Cements

Sample Comp.	A			B			C			D		
	Days 3	7	21	3	7	21	3	7	21	3	7	21
C-S-H	XX XX	XX XXXX	XX XXXX	XX XX	XX XXXX	XX XXXX	XXX XX	XX XX	XX XXXX	XXX XX	XXX XX	XX XX
Ettringite	XX XX	XX XX	XX XX	XXX XXX	XXX XXX	XXX XXX	XX XX	XX XX	X XX	X XX	XX XX	XX XX
Ca(OH) <sub>2</sub>	XX XX	XXX XXX	XX XX	XXX XXX	XXX XXX	XX XX	XXX XXX	XXX XXX	XXX XXX	XX XX	XXX XXX	XX XX
CaSO <sub>4</sub> ·2H <sub>2</sub> O	XX XX	XX XX	XX XX	XX XX	XX XX	XX XX	X XX	X XX	X XX	X XX	X XX	X XX
Clinker Mineral	XX XX	XXX XXX	XX XX	XX XX	XXX XXX	XX XX	XX XX	XXX XXX	XXX XXX	XX XX	XXX XXX	XX XX



1 day                    3 days                    28 days  
(Sample B-1)



1 day                    3 days                    28 days  
(Sample B-2)

Fig. 3. Scanning Electron Micrographs of Hydrated Cement

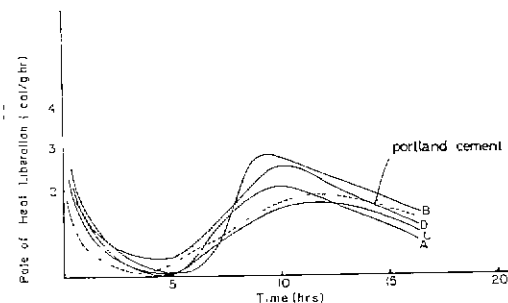


Fig. 4-a Heat Liberation Curves of Cements

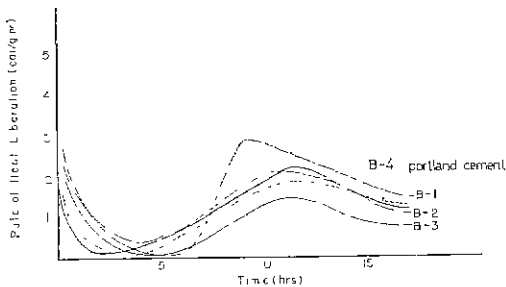


Fig. 4-b Heat Liberation Curves of Cements(B)

合한 B-2, B-4의 경우도 포틀랜드 시멘트의 수화熱曲線과 비슷하다.

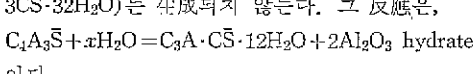
이와 같은 수화性状은 각 클링커들이 갖고 있는 鑽物組成과 一連의 關係를 갖고 있는 것으로 보인다.

即  $C_4A_3\bar{S}$  및  $C_3S$ 의 수화速度는 빠른데 比해  $C_2S$ 의 수화速度는 느리기 때문에 포틀랜드 시멘트보다  $C_2S$ 의 量이 적은 이 클링커로 만든 시멘트가 포틀랜드 시멘트보다 發熱이 빠르며 發熱量도 많으므로 短硬性이豫想된다.

### c) $C_4A_3\bar{S}-C_3S-C_2S$ 系의 수화反應

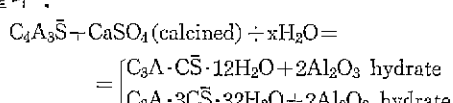
이 系의 수화反應에는 여러 見解가 있다<sup>4) 5) 9) 13)~17)</sup>.

$C_4A_3\bar{S}$  와  $H_2O$  만의 수화에 있어서는 low sulphate ( $C_3A \cdot C\bar{S} \cdot 12H_2O$ )만이 生成되고, high sulphate ( $C_3A \cdot 3C\bar{S} \cdot 32H_2O$ )는 生成되지 않는다. 그 反應은,

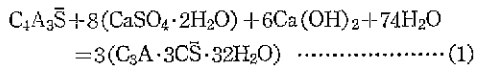


이다.

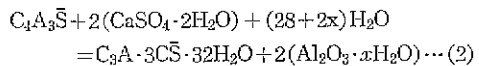
$C_4A_3\bar{S}$ ,  $CaSO_4$  및  $H_2O$ 의 수화에서는 low sulphate 및, high sulphate 가 모두 生成되는데, 이것은 calcined  $CaSO_4$ 의 溶解度가 낮기 때문에 그 反應은 다음과 같다<sup>5)</sup>.



한편,  $C_4A_3\bar{S}-C_3S-C_2S$  系의 수화에 있어서는  $C_4A_3\bar{S}$  가 클링커 中의 free- $CaO$ ,  $C_3S$  및  $C_2S$ 의 수화에 의해 生成되는  $Ca(OH)_2$ 와 接하게 된다.



그리나,  $C_4A_3\bar{S}$ ,  $CaSO_4 \cdot 2H_2O$ ,  $C_3S$ 의 수화에 있어서는 다음 反應에 가깝다.



이와 같이 수화反應이 달라지는 것은  $C_3S$  와  $C_2S$ 의 수화反應 速度差에 의해 生成되는  $Ca(OH)_2$ 의 量이 다르기 때문이다. 即  $C_3S$ 의 수화에 의해 生成된  $Ca(OH)_2$ 의 量은 많기 때문에  $C_4A_3\bar{S}$  와  $C_3S$ 의 수화에 있어서는 反應(1)에 따르며,  $C_4A_3\bar{S}$  와  $C_2S$ 의 수화에 있어서는 거의 反應(2)에 따른다.

一般的으로  $C_4A_3\bar{S}-C_3S-C_2S$ 의 反應은 反應(1)에 따라 수화가 進行되는데 이 反應은  $H_2O$ 를 添加한 後 몇時間동안 活性的이니 많은 量의 ettringite 結晶이 急速히 生成되기 때문에 緊結 및 發熱現象을 나타낸다<sup>3)</sup>.

$C_4A_3\bar{S}-Ca(OH)_2-CaSO_4$ 系의 純粹한 混合物에서  $C_4A_3\bar{S}$ 로부터 ettringite가 生成되는 條件은  $Ca(OH)_2$ 의 存在에 尤其에 關係がある<sup>4)</sup>.  $C_4A_3\bar{S}$  주위의  $SO_4^{2-}$  ion濃度에 따르며,  $SO_4^{2-}$  ion이 充分할 때에는 ettringite가 이미 生成되어 安定하게 남아 있지만,  $SO_4^{2-}$  ion濃度가 어느 程度以下로 내려갈 때에는  $C_4A_3\bar{S} \cdot 18H_2O$  와 또 다른 calciumaluminate hydrate가 生成된다<sup>5)</sup>.

ettringite의 生成은 硬化 concrete에 상당한 부피膨脹을 수반하지만, fresh concrete에서 ettringite가 빨리 生成되면 높은 slump loss를 야기한다. 그러나, ettringite 生成에 關連된 slump loss와 膨脹에 對해서는 아직 完全히 밝혀져 있지 않다<sup>14)~21)</sup>.

이와 같이  $C_4A_3\bar{S}-C_3S-C_2S$  系 시멘트는 硬化體 内部의 亂 空間에 比表面積이 큰  $1\sim2\mu m$ 의 針狀 ettringite가 生成하면서  $C_3S$ 의 수화에 의해 高強度를 나타내고,  $C_2S$ 의 수화에 의해 長期強度를 나타낼 것으로 期待된다.

## IV 結論

石灰石과 高爐슬래그, 轉爐슬래그를 活用하여 低溫燒成이 可能한  $C_4A_3\bar{S}-C_3S-C_2S$  系 클링커를 合成하고, 그 수화反應을 檢討함으로서 資源 및 에너지 節減型시멘트의 開發 可能性을 찾았다. 即

1.  $C_4A_3\bar{S}$ -calciumunsilicate 系의 클링커는  $1,340^{\circ}C$ 에서 30分間 烧成으로 일어났으며, flux를 添加하면  $1,280^{\circ}C$ 에서 生成되었다.

$C_4A_3S$ -Calciumsilicate系 클링커의 水和反應

2. 이 클링커의 主 鹽物相은  $C_3S$ ,  $C_4A_3S$ ,  $\beta$ - $C_2S$ 로서 포틀랜드 시멘트보다  $C_2S$ 가 적다.
3. 이 클링커로 만든 시멘트의 水和生成物은 C-S-H, ettringite,  $Ca(OH)_2$ , 등이다.
4. 이 시멘트는 포틀랜드 시멘트와는組成이 약간 다르나, 水和時 水和速度가 빠르고 水和熱量도 크다.  $C_3S$ 와  $C_4A_3S$ 의 水和로 그硬化體는硬化體内部에針狀의 ettringite가生成하면서速硬性과初期의高強度를 나타내고,  $C_2S$ 의 水和은長期強度를 보일것으로기대된다.
5. 이 클링커에適當量의高爐水碎슬래그와石膏을添加하여混合시멘트도 만들수 있다.

参考 文獻

- (1) 崔相紹, 朴容流, 池政植, 吳黑鉄, “시멘트原料로서廢·副產資源의活用”, 烹業學會誌, 15(3), 149 (1979).
- (2) P. K. Mehta, “Investigations on Energy-Saving Cements”, World Cement Technology, 11, (4) 166 (1980).
- (3) 秋山桂一, 太田威, 岡元豊重, “早強高爐시멘트의製造”, 시멘트技術年報(日), 34, 98 (1980)
- (4) G. Sudoh, T. Ohta, H. Harada, “High Strength Cement in the  $CaO$ - $Al_2O_3$ - $SiO_2$ - $SO_3$  System and its Application”, 7 th. International Congress on the Cement Chemistry, 3, 152, Paris (1980)
- (5) N. Fukuda, “Fundamental Studies on the Expansive Cement”, Proceedings of the 5th. International Symposium on the Chemistry of Cement, 4, 341, Tokyo (1968)
- (6) F. M. Lea, “Calculation of Constituent Compounds in Cements”, Chemistry of Cement and Concrete, 3rd. ed. 114 (1920)
- (7) T. Nakamura, G. Sudoh, S. Akaiwa, “Mineralogical Composition of Expansive Cement Clinker Rich in  $SiO_2$  and its Expansibility”, Proceedings of the 5th. International Symposium on the Chemistry of Cement, 4, 351, Tokyo (1968)
- (8) V. Johansen, N. H. Christensen, “Rate of Formation of  $C_3S$  with Addition of  $CaF_2$ ”, Cement and Concrete Research, 9 (1) 1, (1979)
- (9) Ivan Odler, S. Abdul-Maula, “Structure and Properties of Portland Cement Clinker Doped with  $CaF_2$ ”, J. Amer. Ceram. Soc. 63, (11~12) 654 (1980)
- (10) R. Kondo, “Synthesis and Crystallography of the Compounds Belong to Haityne Type Structure”, J. Ceram. Assoc. Japan, 73, 1, (1965)
- (11) 崔相紹, “水和熱測定에 의한 시멘트水和反應研究”, 시멘트 실험자음(第6回) 21, (1978)
- (12) 内田郁夫, 能見清三郎, 墓岸敬一, “高黃酸鹽Slag Cement의水和에對한 Awin系 클링커의刺激效果”, 시멘트技術年報(日), 33, 64 (1979)
- (13) Mario Collepardi, Renato Turriziani, “The Paste Hydration of  $4CaO$ · $3Al_2O_3$ · $SO_3$  in Presence of Calcium Sulphate, Tricalcium Silicate and Dicalcium Silicate”, Cement and Concrete Research, 2, 213 (1972)
- (14) 原田宏, 太田威, 須藤儀一, “ $CaO$ - $Al_2O_3$ - $SO_3$ - $SiO_2$ 系Clinker의生成反應과水和性狀”, 시멘트技術年報(日), 33, 95 (1979)
- (15) P. K. Mehta, “Effect of Lime on Hydration Pastes Containing Gypsum and Calcium Aluminate or Calcium Sulfoaluminates”, J. Amer. Ceram. Soc. 56, (6) 315 (1973)
- (16) 赤堀重雄, 須藤儀一, 中村孝則, “ $C_4A_3(SO_3)$ 의水和膨脹에關한研究”, 시멘트技術年報(日) 21, 156 (1967)
- (17) H. G. Midgley, K. Pettifer, “The Microstructure of Hydrated Super Sulphated Cement”, Cement and Concrete Research, 1, 101 (1971)
- (18) 福田延衛, 清久長和, “Calcium Sulfoaluminate의生成에 미치는 Silica의影響”, 시멘트技術年報(日) 20, 46 (1966)
- (19) P. K. Mehta, “Mechanism of Expansion Associated with Ettringite Formation”, Cement and Concrete Research, 3, 1, (1973)
- (20) 世郎昇, 土屋通世, “Calcium Sulfoaluminate의水和反應”, 시멘트技術年報(日) 22, 95, (1968)
- (21) W. Kurdowski, A. Thiel, “On the Role of Free Calcium Oxide in Expansive Cements”, Cement and Concrete Research, 3, 29 (1980)